SKRIPSI

SISTEM MONITORING KUALITAS UDARA BERBASIS LORA DI FAKULTAS TEKNIK UNIVERSITAS HASANUDDIN

Disusun dan diajukan oleh:

MOHAMMAD INDRA KURNIAWAN D041201126



PROGRAM STUDI SARJANA TEKNIK ELEKTRO FAKULTAS TEKNIK UNIVERSITAS HASANUDDIN GOWA

2024



LEMBAR PENGESAHAN SKRIPSI

SISTEM MONITORING KUALITAS UDARA BERBASIS LORA DI FAKULTAS TEKNIK UNIVERSITAS HASANUDDIN

Disusun dan diajukan oleh

Mohammad Indra Kurniawan D041201126

Telah dipertahankan dihadapan Panitia Ujian yang dibentuk dalam rangka Penyelesaian Studi Program Sarjana Program Studi Teknik Elektro Fakultas Teknik Universitas Hasanuddin Pada tanggal 24 April 2024 dan dinyatakan telah memenuhi syarat kelulusan.

Menyetujui,

Pembimbing Utama,

Pembimbing Pendamping,

Dr. Eng. Wardi, S.T., M.Eng.

NIP. 19720828 199903 1 003

Ir. Samuel Panggalo, M.T. NIP. 19620304 198811 1 001

Ketua Program Studi,

Ir. Dewiani, M.T. P.:19691026 199412 2 001



LEMBAR PERBAIKAN SKRIPSI

SISTEM MONITORING KUALITAS UDARA BERBASIS LORA DI FAKULTAS TEKNIK UNIVERSITAS HASANUDDIN

Oleh:

MOHAMMAD INDRA KURNIAWAN

D041 20 1126

Skripsi ini telah dipertahankan pada Ujian Akhir Sarjana pada tanggal 24 April 2024 Telah dilakukan perbaikan penulisan dan isi skripsi berdasarkan usulan dari penguji dan pembimbing skripsi.

Persetujuan perbaikan oleh tim penguji:

	Nama	Tanda Tangan
Ketua	Dr. Eng. Wardi, S.T., M.Eng.	2
Sekretaris	Ir. Samuel Panggalo, M.T.	(me
Anazata	Azran Budi Arief, S.T., M.T.	AN
Anggota	Andini Dani Achmad, S.T., M.T.	tali

Persetujuan perbaikan oleh tim pembimbing:

Pembimbing	Nama	Tanda Tangan
I	Dr. Eng. Wardi, S.T., M.Eng.	2
п	Ir. Samuel Panggalo, M.T.	Line



PERNYATAAN KEASLIAN

Yang bertanda tangan di bawah ini:

Nama

: Mohammad Indra Kurniawan

NIM

: D041201126

Program Studi

: Teknik Elektro

Jenjang

: S1

Menyatakan dengan ini bahwa karya tulisan saya berjudul:

SISTEM MONITORING KUALITAS UDARA BERBASIS LORA DI FAKULTAS TEKNIK UNIVERSITAS HASANUDDIN

Adalah karya tulisan saya sendiri dan bukan merupakan pengambil alihan tulisan orang lain dan bahwa skripsi yang saya tulis ini benar-benar merupakan hasil karya saya sendiri.

Semua informasi yang ditulis dalam skripsi yang berasal dari penulis lain telah diberi penghargaan, yakni dengan mengutip sumber dan tahun penerbitannya. Oleh karena itu semua tulisan dalam skripsi ini sepenuhnya menjadi tanggung jawab penulis. Apabila ada pihak manapun yang merasa ada kesamaan judul dan atau hasil temuan dalam skripsi ini, maka penulis siap untuk diklarifikasi dan mempertanggungjawabkan segala resiko.

Segala data dan informasi yang diperoleh selama proses pembuatan skripsi, yang akan dipublikasi oleh Penulis di masa depan harus mendapat persetujuan dari Dosen Pembimbing.

Apabila dikemudian hari terbukti atau dapat dibuktikan bahwa sebagian atau keseluruhan isi skripsi ini hasil karya orang lain, maka saya bersedia menerima sanksi atas perbuatan tersebut.

Gowa, 24 April 2024



Optimized using trial version www.balesio.com Yang Menyatakan

"METPAI TEMPEL
DE754ALX146582095

Mohammad Indra Kurniawan

ABSTRAK

MOHAMMAD INDRA KURNIAWAN. Sistem *Monitoring* Kualitas Udara Berbasis LoRa di Fakultas Teknik Universitas Hasanuddin (dibimbing oleh Wardi dan Samuel Panggalo)

Pada Agustus 2023, Jakarta menjadi kota dengan tingkat polusi udara tertinggi di dunia, sementara pada Juni 2023, Kota Makassar menempati peringkat pertama di Sulawesi Selatan. Penyumbang utama polusi ini adalah emisi CO dan CO₂ dari kendaraan dan industri. Di Fakultas Teknik Universitas Hasanuddin, jumlah mahasiswa serat dosen/pegawai terus meningkat setiap tahun, dengan sebagian besar menggunakan kendaraan bermotor. Oleh karena itu, penting untuk mempertimbangkan penerapan alat pemantau kualitas udara di kampus tersebut.

Pada penelitian ini, dilakukan perancangan sistem pemantauan kualitas udara berbasis *Long Range* (LoRa) menggunakan Mappi32 dengan sensor MQ-7, MQ-135, dan DHT-22. Data dari sistem akan ditampilkan melalui *platform* ThingSpeak, sehingga dapat diakses oleh mahasiswa serta pegawai/dosen di Fakultas Teknik Universitas Hasanuddin untuk memantau dan menjaga kualitas udara lingkungan.

Hasil penelitian menunjukkan sistem *monitoring* kualitas udara berhasil dirancang dengan persentase error pada sensor MQ-135 sebesar 0,74% tanpa polutan dan 4,36% dengan asap kertas, MQ-7 sebesar 3% dengan gas buang kendaraan, serta DHT-22 sebesar 3,81% untuk suhu dan 2,73% untuk kelembaban dengan menggunakan hair dryer, serta 3,68% untuk suhu dan 1,81% untuk kelembaban dengan menggunakan hawa air dingin. Pengujian QoS LoRa menunjukkan nilai bervariasi yang bergantung terhadap jarak lokasi parkiran yang diuji, delay 115 – 324 ms, throughput 566,97 – 581,26 bps, packet loss 0 – 8%, dan RSSI -93 dBm hingga -118 dBm. Dari 8 lokasi parkiran yang diuji, hanya 5 lokasi yang dapat dijangkau oleh jaringan LoRa. Jarak maksimal pengiriman informasi melalui LoRa tercatat sebesar 184,54 m pada Parkiran Gedung Perkapalan, dari total jarak pengujian sebesar 339,1 m untuk radius pengiriman informasi dari Laboratorium Telematika, Gedung Elektro. Pengujian QoS HTTP juga menunjukkan variasi nilai yang signifikan bergantung pada jarak, dengan jarak maksimal pengukuran yang dapat dijangkau sejauh 60 m. Delay berkisar dari 0,032 – 0,302 detik, throughput berkisar dari 1417,263 hingga 43395,201 bps, dan tidak terdapat adanya packet loss atat. Namun, pada jarak 70 m, data QoS sudah tidak dapat terukur.

nci: Kualitas Udara, *Internet of Things*, LoRa, ThingSpeak, ThingView.



ABSTRACT

MOHAMMAD INDRA KURNIAWAN. LoRa-based Air Quality Monitoring System at Faculty of Engineering, Hasanuddin University (supervised by Wardi dan Samuel Panggalo)

In August 2023, Jakarta became the city with the highest air pollution levels in the world, while in June 2023, Makassar City ranked first in South Sulawesi. The main contributors to this pollution are CO and CO₂ emissions from vehicles and industry. At the Faculty of Engineering of Hasanuddin University, the number of students and employees/lecturers continues to increase every year, with most using motorized vehicles. Therefore, it is important to consider the implementation of air quality monitoring devices on campus.

In this research, a Long Range (LoRa) based air quality monitoring system using Mappi32 with MQ-7, MQ-135, and DHT-22 sensors is designed to detect pollutant levels along with temperature and humidity. Data from the system will be displayed through the ThingSpeak platform, so that it can be accessed by students and employees/lecturers at the Faculty of Engineering, Hasanuddin University to monitor and maintain environmental air quality.

The research showed that the air quality monitoring system was successfully designed with a percentage error on the MQ-135 sensor of 0,74% without pollutants and 4,36% with paper smoke, MQ-7 of 3% with vehicle exhaust gas, and DHT-22 of 3,81% for temperature and 2,73% for humidity using a hair dryer, and 3,68% for temperature and 1,81% for humidity using cold water. QoS LoRa tests showed varying values depending on the distance of the parking lot location tested, delay 115 - 324 ms, throughput 566.97 - 581.26 bps, packet loss 0 - 8%, and RSSI -93 dBm to -118 dBm. Among 8 parking lot locations tested, only 5 locations can be reached by the LoRa network. The maximum distance of sending information via LoRa was recorded at 184,54 m in the Naval Building parking lot, from a total test distance of 339,1 m for the radius of transmitting information from the Telematics Laboratory, Electrical Building. HTTP QoS tests also show significant variations in value depending on the distance, with the maximum measurement distance that can be reached as far as 60 m. Delay ranged from 0.032 - 0.302 seconds, throughput ranged from 1417,263 to 43395,201 bps, and no packet loss was recorded. , at a distance of 70 m, QoS data could no longer be measured.

ls: Air Quality, Internet of Things, LoRa, ThingSpeak, ThingView.



KATA PENGANTAR

Assalamu'alaikum Warahmatullahi Wabarakatuh

Puji dan syukur penulis panjatkan atas kehadirat Allah Ta'ala. karena atas limpahan rahmat, taufik, dan hidayah-Nya sehingga penulis dapat menyelesaikan skripsi ini dengan judul: "SISTEM MONITORING KUALITAS UDARA BERBASIS LORA DI FAKULTAS TEKNIK UNIVERSITAS HASANUDDIN".

Skripsi ini disusun sebagai salah satu syarat yang harus dipenuhi untuk dapat menyelesaikan pendidikan tahap sarjana di Departemen Teknik Elektro, Fakultas Teknik, Universitas Hasanuddin.

Penulis menyadari bahwa selama penyusunan skripsi ini, penulis banyak dihadapi dengan berbagai hambatan, namun berkat adanya bimbingan, dukungan, dan bantuan dari berbagai pihak, akhirnya penulis dapat menyelesaikan skripsi ini dengan baik. Oleh karena itu, melalui kesempatan ini penulis juga mengucapkan banyak terima kasih kepada:

- Kedua orang tua dan saudara penulis, Ayahanda Subianto (*Rahimahullah*), Ibunda Suwatik, Mas Wahyu Effendi, S.T., dan Kakak Mohammad Syaiful Lutfi, S.T. yang telah memberikan doa dan dukungan selama penyelesaian skripsi ini.
- 2. Ketua Departemen Teknik Elektro, Fakultas Teknik, Universitas Hasanuddin, Ibu Dr. Eng. Ir. Dewiani, M.T.
- 3. Bapak Dr. Eng. Wardi, S.T., M.Eng. selaku pembimbing I dan Bapak Ir. Samuel Panggalo, M.T. selaku pembimbing II yang telah banyak meluangkan waktu, tenaga, dan pikirannya selama membimbing dan mengarahkan penulis dalam pembuatan skripsi ini.
- 4. Bapak Azran Budi Arief, S.T., M.T., selaku penguji I dan Ibu Andini Dani 1mad, S.T., M.T., selaku penguji II yang telah memberikan kritik maupun an dalam penyusunan skripsi ini.



- 5. Teman-teman PROCEZ20R yang telah membersamai penulis dalam menjalani kehidupan bermahasiswa.
- 6. Seluruh staf dan teman-teman *Student Volunteer* Kantor Urusan Internasional Universitas Hasanuddin yang telah membersamai penulis selama menjadi *volunteer*.
- 7. Teman-teman Liaison Officer ASEAN High Level Forum (AHLF) on Disability-Inclusive Development and Partnership Beyond 2025 yang telah membersamai penulis dan selalu memberikan dukungan serta semangat.
- 8. Teman-teman organisasi *Society of Renewable Energy* Universitas Hasanuddin atas pengalaman yang telah diberikan kepada penulis selama menjalani kehidupan bermahasiswa.
- 9. Teman-teman Magang dan Studi Independen Bersertifikat *Batch* 6 (MSIB 6) di PT. Huawei Tech Investment yang telah membersamai penulis dalam menjalani proses magang, khususnya teman-teman pada divisi *Wireless*. Terkhususnya mentor penulis, diantaranya Kakak Farrel Ferdian, S.T. dan Kakak Raymondus Kevin Sinurat, S.T. yang telah membing penulis dalam penulisan skripsi dan juga selama magang.
- 10. Dan untuk semua pihak yang tak dapat penulis sebutkan satu per satu yang telah memberikan dukungan baik secara langsung maupun tidak langsung sehingga penulis dapat menyelesaikan skripsi ini.

Akhir kata dengan segala kerendahan hati, penulis menyadari masih terdapat kekurangan dalam penulisan tugas akhir ini baik isi maupun cara penyajian. Oleh karena itu penulis mengharapkan adanya saran dan kritik yang bersifat membangun demi kesempurnaan skripsi ini.

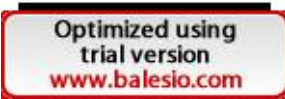
Gowa, 24 April 2024

Penulis



DAFTAR ISI

LEMBAR PENGESAHAN SKRIPSI	i
LEMBAR PERBAIKAN SKRIPSI	ii
PERNYATAAN KEASLIAN	iii
ABSTRAK	iv
ABSTRACT	v
KATA PENGANTAR	vi
DAFTAR ISI	viii
DAFTAR GAMBAR	xi
DAFTAR TABEL	xiv
DAFTAR LAMPIRAN	XVi
DAFTAR SINGKATAN DAN ARTI SIMBOL	xvii
BAB I PENDAHULUAN	1
I.1 Latar Belakang	1
I.2 Rumusan Masalah	4
I.3 Tujuan Penelitian	4
I.4 Manfaat Penelitian	4
I.5 Ruang Lingkup	5
BAB II_TINJAUAN PUSTAKA	6
II.1 Kualitas Udara	6
II.2 Internet of Things (IoT)	8
II.3 Long Range (LoRa)	9
pDF appi32	11
duino IDE	12
nsor Gas MQ-135	13



II.6.1 Cara Kerja Sensor	14
II.6.2 Spesifikasi Sensor	14
II.7 Sensor Gas MQ-7	15
II.7.1 Cara Kerja Sensor	15
II.7.2 Spesifikasi Sensor.	16
II.8 Sensor Suhu dan Kelembaban DHT-22	16
II.9 WebPlotDigitizer	17
II.10 Liquid Crystal Display (LCD) 20x4	18
II.11 Hypertext Transfer Protocol (HTTP)	19
II.12 Universal Asynchronous Receiver Transmitter (UART)	19
II.13 Sistem Komunikasi Single Input Single Output (SISO)	20
II.14 ThingSpeak dan ThingView	20
II.15 Quality of Services (QoS)	21
II.15.1 Pengertian Quality of Services (QoS)	21
II.15.2 Parameter QoS	21
II.16 Wireshark	24
II.17 State of the Art	24
BAB III_METODE PENELITIAN	31
III.1 Alur Penelitian	31
III.2 Lokasi dan Waktu Penelitian	32
III.3 Alat dan Bahan	32
III.4 Perancangan Alat	33
III.4.1 Perancangan Hardware	33
111 ¹ .2 Perancangan Software	37
alibrasi dan Pengujian Pembacaan Sensor	37
.1 Kalibrasi Sensor	37



III.5.2 Pengujian Pembacaan Sensor	41
III.6 Teknik Pengambilan Data	44
III.6.1 Pengujian QoS LoRa End-Device to LoRa Gateway	44
III.6.2 Pengukuran QoS Pada HTTP	46
III.6.3 Pengukuran Kualitas Udara	48
BAB IV_HASIL DAN PEMBAHASAN	50
IV.1 Hasil Perancangan Alat	50
IV.2 Pengujian Pembacaan Sensor	51
IV.2.1 Sensor Gas CO ₂ MQ-135	51
IV.2.2 Sensor Gas CO MQ-7	54
IV.2.3 Sensor Suhu dan Kelembaban DHT-22	57
IV.3 Hasil Pengujian QoS Pada LoRa	62
IV.4 Hasil Pengujian QoS Pada HTTP	63
IV.4.1 Hasil Pengujian Rata-Rata Delay	64
IV.4.2 Hasil Pengujian Rata-Rata <i>Throughput</i>	65
IV.4.3 Hasil Pengujian Rata-Rata Packet Loss	66
IV.5 Hasil Pengukuran Kualitas Udara Pada Fakultas Teknik U	niversitas
Hasanuddin	67
IV.5.1 Kondisi Saat Libur Semester	69
IV.5.2 Kondisi Saat Perkuliahan	79
IV.5.3 Data Keseluruhan	89
BAB V_PENUTUP	97
V.1 Kesimpulan	97
V.2 Saran	98
PUSTAKA	100



DAFTAR GAMBAR

Gambar 1 Visualisasi pada internet of things (IoT)	9
Gambar 2 Visualisasi pada LoRa	10
Gambar 3 Diagram pin-out Mappi32	12
Gambar 4 Arduino IDE	13
Gambar 5 Sensor gas MQ-135	14
Gambar 6 Sensor gas MQ-7	15
Gambar 7 Sensor suhu dan kelembaban DHT-22	17
Gambar 8 LCD 20x4	18
Gambar 9 Sistem pengirim dan penerima pada SISO	20
Gambar 10 Diagram alur penelitian	31
Gambar 11 Perancangan alat	33
Gambar 12 Desain casing alat, (kiri) end-device dan (kanan) gateway	34
Gambar 13 Perancangan pada end-device	35
Gambar 14 Rangkaian skematik pada end-device	35
Gambar 15 Perancangan pada gateway	36
Gambar 16 Rangkaian skematik pada gateway	36
Gambar 17 Grafik karakteristik sensitivitas sensor MQ-135	38
Gambar 18 Grafik karakteristik sensitivitas sensor MQ-7	40
Gambar 19 Denah gedung Fakultas Teknik Universitas Hasanuddin	44
Gambar 20 Tampilan total length pada aplikasi CoolTerm	45
Gambar 21 Tampilan nilai RSSI pada serial monitor	46
22 Tampilan awal aplikasi Wireshark	46
23 Tab halaman ThingSpeak	47
24 Tampilan pada saat <i>capturing packets</i> akan dimulai	47



Gambar 25 Tampilan pada saat <i>capturing packets</i> akan dihentikan	48
Gambar 26 Tampilan data capture file properties	48
Gambar 27 Hasil perancangan alat	50
Gambar 28 Grafik pengujian sensor MQ-135	52
Gambar 29 Pengujian sensor MQ-135	52
Gambar 30 Grafik pengujian sensor MQ-135	53
Gambar 31 Pengujian sensor MQ-135	54
Gambar 32 Grafik pengujian sensor MQ-7	56
Gambar 33 Pengujian sensor MQ-7	56
Gambar 34 Grafik pengujian sensor suhu DHT-22	58
Gambar 35 Grafik pengujian sensor kelembaban DHT-22	58
Gambar 36 Pengujian sensor DHT-22	59
Gambar 37 Grafik pengujian sensor suhu DHT-22	60
Gambar 38 Grafik pengujian sensor kelembaban DHT-22	60
Gambar 39 Pengujian sensor DHT-22	61
Gambar 40 Pengujian QoS pada HTTP	64
Gambar 41 Grafik pengujian <i>delay</i>	64
Gambar 42 Grafik pengujian throughput	65
Gambar 43 Grafik pengujian packet loss	66
Gambar 44 Tampilan pada website ThingSpeak	68
Gambar 45 Tampilan pada aplikasi ThingView	68
Gambar 46 Lokasi pengambilan data pada gedung elektro	70
Gambar 47 Lokasi pengambilan data pada gedung sipil	72
Gambar 48 Lokasi pengambilan data pada gedung geologi	74
19 Lokasi pengambilan data pada gedung mesin	76
50 Lokasi pengambilan data pada gedung perkapalan	78

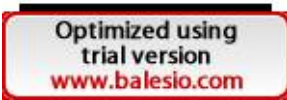


Gambar 51 Lokasi pengambilan data pada gedung elektro	80
Gambar 52 Lokasi pengambilan data pada gedung sipil	82
Gambar 53 Lokasi pengambilan data pada gedung geologi	84
Gambar 54 Lokasi pengambilan data pada gedung mesin	86
Gambar 55 Lokasi pengambilan data pada gedung perkapalan	88
Gambar 56 Grafik nilai CO pada setiap lokasi parkiran	89
Gambar 57 Grafik nilai CO ₂ pada setiap lokasi parkiran	90
Gambar 58 Grafik nilai suhu pada setiap lokasi parkiran	91
Gambar 58 Grafik nilai kelembaban pada setiap lokasi parkiran	91
Gambar 59 Grafik nilai CO pada setiap lokasi parkiran	92
Gambar 60 Grafik nilai CO ₂ pada setiap lokasi parkiran	93
Gambar 61 Grafik nilai suhu pada setiap lokasi parkiran	94
Gambar 62 Grafik nilai kelembaban pada setiap lokasi parkiran	94



DAFTAR TABEL

Tabel 1 Rentang indeks standar pencemar udara	7
Tabel 2 Persentase komponen pencemar udara	7
Tabel 3 Parameter nilai CO ₂	8
Tabel 4 Parameter nilai CO	8
Tabel 5 Perbandingan Arduino Uno dan Mappi32	12
Tabel 6 Index sensor MQ-135	14
Tabel 7 Index sensor MQ-7	16
Tabel 8 Index sensor DHT-22	17
Tabel 9 Parameter nilai <i>delay</i>	22
Tabel 10 Parameter nilai throughput	22
Tabel 11 Parameter nilai packet loss	23
Tabel 12 Parameter nilai received signal strength indicator	23
Tabel 13 State of the art	24
Tabel 14 <i>Hardware</i> yang digunakan	32
Tabel 15 Software yang digunakan	33
Tabel 16 Koneksi <i>port</i> sensor gas MQ-7 ke Mappi32	35
Tabel 17 Koneksi <i>port</i> sensor gas MQ-135 ke Mappi32	35
Tabel 18 Koneksi <i>port</i> sensor suhu dan kelembaban DHT-22 ke Mappi32	35
Tabel 19 Koneksi <i>port</i> LCD 20x4 I2C ke Mappi32	36
Tabel 20 Estimasi jarak antara laboratorium telematika dengan parkiran setiap)
gedung	45
Tobal 21 Ukuran alat	50
Pengujian sensor MQ-135 tanpa menggunakan sumber polutan	51
Pengujian sensor MQ-135 dengan menggunakan asap kertas	53



Tabel 24 Pengujian sensor MQ-7 dengan menggunakan asap knalpot	55
Tabel 25 Pengujian sensor DHT-22	57
Tabel 26 Pengujian sensor DHT-22	59
Tabel 27 Hasil pengujian QoS pada LoRa	62
Tabel 28 Hasil pengujian QoS pada HTTP	63
Tabel 29 Data pengujian alat pada parkiran gedung elektro	69
Tabel 30 Data pengujian alat pada parkiran gedung sipil	71
Tabel 31 Data pengujian alat pada parkiran gedung geologi	73
Tabel 32 Data pengujian alat pada parkiran gedung mesin	75
Tabel 33 Data pengujian alat pada parkiran gedung perkapalan	77
Tabel 34 Data pengujian alat pada parkiran gedung elektro	79
Tabel 35 Data pengujian alat pada parkiran gedung sipil	81
Tabel 36 Data pengujian alat pada parkiran gedung geologi	83
Tabel 37 Data pengujian alat pada parkiran gedung mesin	85
Tabel 38 Data pengujian alat pada parkiran gedung perkapalan	87
Tabel 39 Data keseluruhan pada setiap lokasi	89
Tabel 40 Data keseluruhan pada kondisi saat perkuliahan	92
Tabel 41 Sampel data relasi CO, CO ₂ , suhu, dan kelembaban	95



DAFTAR LAMPIRAN

Lampiran 1 Kode program untuk mendapatkan nilai R _O sensor MQ-7	105
Lampiran 2 Hasil nilai R _O sensor MQ-7	106
Lampiran 3 Kode program untuk mendapatkan nilai R _O sensor MQ-135	106
Lampiran 4 Hasil nilai R _O sensor MQ-135	107
Lampiran 5 Kode program untuk end-device	107
Lampiran 6 Kode program untuk gateway	113
Lampiran 7 Data pengujian alat – kondisi libur semester	120
Lampiran 8 Data pengujian alat – kondisi perkuliahan	122
Lampiran 9 Perhitungan <i>delay</i> LoRa	124
Lampiran 10 Perhitungan throughput dan packet loss	125
Lampiran 11 Perhitungan RSSI	125
Lampiran 12 Pengujian untuk daerah line of sight	134



DAFTAR SINGKATAN DAN ARTI SIMBOL

Lambang/Singkatan	Arti dan Keterangan
a	Nilai Scaling Factor
adcraw	Nilai Mentah/Raw Hasil Pembacaan Sensor
b	Titik Persimpangan (Untuk Sensor MQ-7) dan Nilai
	Exponent (Untuk Sensor MQ-135)
bps	Bits per second
CO	Carbon Monoxide
CO_2	Carbon Dioxide
dBi	Decibels Isotropic
dBm	Decibels Milliwatt
GND	Ground
HTTP	Hypertext Transfer Protocol
I2C	Inter Integrated Circuit
IDE	Integreted Development Environment
ISPU	Indeks Standar Pencemar Udara
LAN	Local Area Network
LCD	Liquid Crystal Display
LoRa	Long Range
m	Kemiringan Garis Pada Grafik
ms	Milisecond
ppm	Nilai dalam Satuan Udara atau Gas
R_{L}	Resistansi Beban
Ro	Nilai Resistansi Sensor Pada Kondisi Udara Bersih
	(Untuk Sensor MQ-7) dan Nilai Resistansi Sensor Pada
	Kadar Gas yang Diketahui (Untuk Sensor MQ-135)
R_S	Resistansi Sensor
R_{S}/R_{O}	Rasio Pada Udara Bersih
RSSI	Received Signal Strength Indicator
Rx	Receiver
SCL	Serial Clock
SDA	Serial Data
TIPHON	Telecommunications and Internet Protocol
	Harmonization Over Networks
Tx	Transmitter
Vc/VCC	Tegangan Input
DF	Tegangan Pada Resistansi Beban
2	Wireless Fidelity
	Waktu Indonesia Tengah



BABI

PENDAHULUAN

I.1 Latar Belakang

Pada bulan Agustus 2023, Jakarta mencapai sebuah pencapaian yang tidak diinginkan dengan menduduki peringkat pertama sebagai kota metropolitan dengan tingkat polusi udara tertinggi di dunia dengan nilai *Air Quality Index* sebesar 161 (Kompas.com, 2023). Faktor ini dipengaruhi oleh peningkatan drastis jumlah kendaraan bermotor di wilayah Jakarta. Data yang dikeluarkan oleh Badan Pusat Statistik (BPS) mengungkapkan bahwa dalam lima tahun terakhir, jumlah kendaraan bermotor di Jakarta terus meningkat, mencapai 26,37 juta unit pada tahun 2022, menunjukkan peningkatan sebesar 4,39% dari tahun sebelumnya. Pada tahun 2020, jumlah kendaraan bermotor di Jakarta berjumlah 24,26 juta unit, yang juga mengalami peningkatan dari tahun-tahun sebelumnya, yaitu 2019 dan 2018. Dari segi jenis kendaraan, sepeda motor mendominasi dengan jumlah mencapai 17,3 juta unit, setara dengan 65,6% dari total kendaraan bermotor di kota tersebut pada tahun 2022. Disamping itu, terdapat 3,76 juta mobil penumpang, 748,39 ribu unit truk, dan 37,18 ribu unit bus di Jakarta pada tahun yang sama (Databoks, 2023).

Tidak hanya itu, Kota Makassar, yang terletak di Sulawesi Selatan, juga dihadapkan pada tantangan serupa. Pada bulan Juni 2023, Kota Makassar menduduki peringkat pertama sebagai kota dengan tingkat polusi udara tertinggi di Sulawesi Selatan dengan nilai *Air Quality Index* sebesar 55 (AQI, 2023). Penyumbang utama polusi ini adalah emisi karbon monoksida (CO) dan karbon dioksida (CO₂) yang berasal dari kendaraan bermotor dan kegiatan industri. Polusi yang dihasilkan oleh kendaraan bermotor terus meningkat seiring berjalannya waktu, dan situasi ini semakin mengancam kesehatan penduduk. Menurut data dari BPS, jumlah kendaraan bermotor di Kota Makassar tercatat mengalami tan sebesar 10-13% setiap tahunnya, seperti yang dilaporkan oleh lsel (2023). Situasi ini menuntut perlunya tindakan segera untuk



mengendalikan pertumbuhan kendaraan bermotor dan mengurangi dampak negatifnya pada kualitas udara serta kesehatan masyarakat.

Seiring dengan berjalannya waktu, tingkat pencemaran udara telah meningkat secara signifikan, mengakibatkan penurunan kualitas udara di sekitar kita yang menjadi semakin buruk dan mengkhawatirkan. Dampaknya pun bersifat berkelanjutan, baik terhadap kesehatan manusia maupun lingkungan hidup itu sendiri. Berbagai bentuk polusi udara telah muncul, termasuk emisi gas buangan dari kendaraan bermotor yang terus meningkat dalam jumlahnya seiring berjalannya waktu. Selain itu, limbah udara yang dihasilkan oleh sektor industri merupakan penyumbang terbesar dalam pencemaran udara. Asap pabrik dan kendaraan bermotor mengandung berbagai zat berbahaya, termasuk pada emisi karbon dioksida (CO₂) dan karbon monoksida (CO), sehingga diperlukannya perangkat yang dapat diterapkan untuk memantau kadar kualitas udara pada suatu lokasi.

Penerapan yang dapat diimplementasikan yaitu pada lingkungan kampus Fakultas Teknik Universitas Hasanuddin. Seiring dengan bertambahnya jumlah mahasiswa serta dosen/pegawai kampus yang terus meningkat setiap tahun, hampir seluruh penduduk kampus menggunakan kendaraan bermotor untuk mencapai lokasi kampus. Peningkatan polusi udara dan potensi dampaknya terhadap kesehatan manusia dan lingkungan menjadi perhatian serius. Dalam konteks ini, penting untuk mempertimbangkan penerapan alat-alat pemantauan kualitas udara di kampus Fakultas Teknik Universitas Hasanuddin. Tindakan ini akan membantu mengidentifikasi tingkat polusi udara dan memungkinkan pengambilan langkahlangkah untuk meminimalkan dampak negatifnya pada kesehatan manusia serta memperbaiki kualitas lingkungan kampus yang saat ini tercemar akibat polusi udara. Oleh karena itu, dalam rangka penelitian ini, penulis merancang sebuah sistem pemantauan kualitas udara dalam ruangan yang mampu memberikan informasi secara instan dan *real-time*.



la penelitian sebelumnya yang berjudul "Aplikasi *Wireless Sensor* Untuk Sistem *Monitoring* dan Kualifikasi Udara", digunakan sensor gas tuk mengukur kadar CO di udara. Konsep *wireless sensor network* (WSN)



diterapkan untuk pemantauan kualitas udara dengan pemasangan beberapa *node* sensor di lokasi tertentu dan satu *sink* yang bertanggung jawab untuk mengumpulkan data dari *node* sensor dan mengirimkannya ke *server*. Data kualitas udara yang diperoleh oleh *node* sensor kemudian diklasifikasikan menggunakan metode klasifikasi pada *data mining*, yaitu *k-nearest neighbor* (K-NN) (Arya et al., 2018). Selain itu, dalam penelitian yang berjudul "Stasiun Pemantau Kualitas Udara Berbasis Web", digunakan sensor MQ-135 untuk mengukur kadar CO₂ di udara. Perangkat keras menggunakan mikrokontroler *board* Arduino Uno, sensor pendeteksi gas, dan sensor pendeteksi suhu serta kelembaban udara. Perangkat lunak dikembangkan menggunakan bahasa pemrograman C untuk Arduino, PHP untuk pengembangan *web*, *web server Apache*, dan *database* MySQL (Sebayang, 2017).

Pada penelitian ini dibutuhkan juga teknologi yang mendukung untuk mengimplementasi alat yang dirancang, salah satu teknologi yang mendukung adalah teknologi telekomunikasi LoRa (Long Range). LoRa merupakan salah satu teknologi telekomunikasi wireless yang dapat mengirimkan informasi dengan jarak yang luas. LoRa juga merupakan teknologi yang bersifat open-source sehingga teknologi ini dapat mengirimkan informasi secara gratis dari transmitter ke receiver (Simbolon et al., 2021). Alat yang akan dikembangkan memiliki tujuan untuk mengukur konsentrasi gas CO (karbon monoksida) dan CO₂ (karbon dioksida) di setiap gedung kampus. Pengukuran ini akan dilakukan menggunakan sensor gas MQ yang sensitivitasnya telah disesuaikan dengan gas yang ingin diukur. Selain itu, penambahan alat pengukur suhu dan kelembaban dengan sensor DHT-22 juga akan membantu dalam memahami kondisi lingkungan secara lebih komprehensif. Semua komponen ini akan diintegrasikan dengan mikrokontroler Mappi32, menciptakan sistem pemantauan yang terintegrasi secara menyeluruh. Dengan sistem ini, data mengenai kualitas udara dalam ruangan di kampus dapat diperoleh secara real-time, memungkinkan identifikasi polusi dan pengambilan tindakan yang tepat untuk menjaga kesehatan manusia serta memperbaiki kualitas lingkungan kampus yang

erdasarkan latar belakang yang ada di atas maka dibuatlah skripsi yang 'SISTEM *MONITORING* KUALITAS UDARA BERBASIS LORA DI



PDF

rcemar akibat polusi udara.

FAKULTAS TEKNIK UNIVERSITAS HASANUDDIN" yang akan memudahkan mahasiswa dan dosen/pegawai di Fakultas Teknik Universitas Hasanuddin untuk mengetahui kualitas udara yang berada disekitar dan juga menjadi salah satu upaya menjaga kesehatan bagi yang berada di lingkungan Fakultas Teknik Universitas Hasanuddin.

I.2 Rumusan Masalah

Rumusan masalah yang diangkat dalam penyusunan Skripsi ini sebagai berikut:

- 1. Bagaimana merancang sistem *monitoring* kualitas udara berbasis LoRa di Fakultas Teknik Universitas Hasanuddin?
- 2. Bagaimana QoS (*Delay, Throughput, Packet Loss*, dan RSSI) pengiriman data LoRa *end-device* ke LoRa *gateway*?
- 3. Bagaimana QoS (Delay, Throughput, dan Packet Loss) pada HTTP?

I.3 Tujuan Penelitian

- 1. Merancang sistem *monitoring* kualitas udara berbasis LoRa menggunakan *platform* ThingSpeak.
- 2. Untuk mengetahui kualitas layanan (QoS) dalam pengiriman data LoRa-to-LoRa.
- 3. Untuk mengetahui kualitas layanan (QoS) protokol HTTP dengan menggunakan perangkat lunak Wireshark.

I.4 Manfaat Penelitian

Manfaat dari penelitian ini merupakan sebagai sarana teknologi yang memungkinkan pemantauan dan evaluasi kualitas udara di setiap Gedung Fakultas

Jniversitas Hasanuddin, serta mendorong kesadaran akan pelestarian an di sekitar kampus.



I.5 Ruang Lingkup

Ruang lingkup dari penelitian ini merupakan:

- Mikrokontroler yang digunakan adalah 2 buah Mappi32 yang sudah terintegrasi dengan teknologi LoRa dengan menggunakan frekuensi kerja 921 MHz.
- 2. Jenis kualitas udara yang diukur yaitu karbon monoksida (CO) menggunakan sensor MQ-7, karbon dioksida (CO₂) menggunakan sensor MQ-135, dan pendeteksi suhu dan kelembaban menggunakan DHT-22.
- 3. Menggunakan *platform open-source* ThingSpeak untuk menampilkan data hasil *monitoring* kualitas udara dari *gateway*.
- 4. Pengambilan data kualitas udara hanya dilakukan pada lokasi yang dapat dijangkau oleh jaringan LoRa dari *end-device* ke *gateway* pada lingkungan Kampus Fakultas Teknik Universitas Hasanuddin.
- 5. Pengambilan data dilakukan pada bulan Januari Maret 2024.



BABII

TINJAUAN PUSTAKA

II.1 Kualitas Udara

Udara memainkan peran sentral dalam kehidupan manusia. Namun, dengan pertumbuhan fisik kota dan pusat-pusat industri yang terus berkembang, terjadi perubahan signifikan dalam kualitas udara. Faktor pencemaran udara dapat berasal dari berbagai aktivitas, termasuk sektor permukiman, transportasi, komersial, pengelolaan limbah padat, serta sektor penunjang lainnya. Semua aktivitas ini memiliki potensi untuk mempengaruhi kualitas udara. Kampus Fakultas Teknik Universitas Hasanuddin tidak terkecuali dari perubahan ini. Setiap tahun, jumlah mahasiswa yang menggunakan kendaraan bermotor di kampus ini semakin bertambah, dan pembangunan gedung baru terus dilakukan.

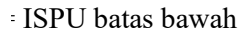
Berdasarkan informasi dari Indeks Standar Pencemar Udara (ISPU) yang telah ditetapkan oleh Direktorat Pengendalian Pencemaran Udara, Kementerian Lingkungan Hidup dan Kehutanan Republik Indonesia, parameter yang digunakan dalam perhitungan ISPU meliputi Partikulat (PM₁₀ dan PM_{2.5}), Karbon Monoksida (CO), Sulfur Dioksida (SO₂), Nitrogen Dioksida (NO₂), Ozon (O₃), dan Hidrokarbon (HC). Tabel 1 memperlihatkan rentang indeks standar pencemar udara. Perhitungan ISPU dilakukan dengan merujuk pada nilai ISPU batas atas, ISPU batas bawah, ambien batas atas, ambien batas bawah, dan konsentrasi ambien hasil pengujian. Persamaan matematika yang digunakan untuk menghitung ISPU adalah sebagai berikut (Direktorat Pengendalian Pencemaran Udara, 2023):

$$ISPU = \frac{I_a - I_b}{X_a - X_b} (X_x - X_b) + I_b \tag{1}$$

dimana,

PDF

 I_a = ISPU batas atas



- = Konsentrasi ambien batas atas (µg/m3)
- = Konsentrasi ambien batas bawah (μg/m3)
- = Konsentrasi ambien nyata hasil pengujian (μg/m3)

Optimized using trial version www.balesio.com

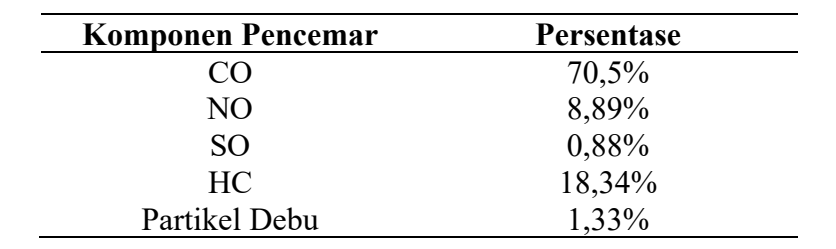
Tabel 1 Rentang indeks standar pencemar udara (Direktorat Pengendalian Pencemaran Udara, 2023)

Rentang	Kategori
0 - 50	Baik
51 - 100	Sedang
101 - 200	Tidak Sehat
201 - 300	Sangat Tidak Sehat
> 300	Berbahaya

Namun, dalam konteks penelitian ini, standar kualitas udara diukur melalui parameter karbon monoksida (CO) menggunakan sensor gas MQ-7, karbon dioksida (CO₂) menggunakan sensor gas MQ-135, dan sensor DHT-22 sebagai sensor tambahan untuk mendeteksi suhu dan kelembaban. Tabel 2 memperlihatkan persentase komponen pencemar udara. Dalam konteks pemantauan kualitas udara, satuan yang digunakan untuk mengukur konsentrasi karbon monoksida (CO) dan karbon dioksida (CO2) adalah parts per million (ppm). Hal ini dikarenakan CO dan CO₂ merupakan dua parameter yang paling umum digunakan untuk mengukur kualitas udara dalam ruangan maupun luar ruangan. CO merupakan gas beracun yang dihasilkan dari pembakaran bahan bakar fosil seperti batu bara dan minyak bumi, kendaraan bermotor, pemanas ruangan dengan minyak tanah, cerobong asap, dan tungku yang bocor serta kompor gas, sedangkan CO2 merupakan gas rumah kaca yang dihasilkan dari aktivitas manusia seperti asap pabrik, pembakaran sampah, kebakaran hutan, dan asap kendaraan bermotor (Direktorat Jenderal Pelayanan Kesehatan, 2023). Keduanya dapat mempengaruhi kesehatan manusia dan lingkungan, sehingga penting untuk terus memantau konsentrasinya dalam udara serta suhu dan kelembaban juga merupakan parameter penting dalam pemantauan kualitas udara karena dapat mempengaruhi kenyamanan dan kesehatan manusia. Tabel 3 menunjukkan parameter nilai untuk CO2 dan Tabel 4 menunjukkan parameter nilai untuk CO.

Tabel 2 Persentase komponen pencemar udara (Diva, 2022)







Tabel 3 Parameter nilai CO₂ (Hareendran, 2020)

Nilai CO ₂ (ppm)	Kategori
0 - 400	Sangat Baik
401 - 750	Baik
751 - 1200	Hati-Hati
> 1200	Berbahaya

Tabel 4 Parameter nilai CO (Kurniawan, 2017)

Nilai CO	Kategori
0 - 9	Sangat Baik
10 - 24	Baik
25 - 49	Sedang
50 – 99	Tidak Sehat
100 - 199	Sangat Tidak Sehat
> 200	Berbahaya

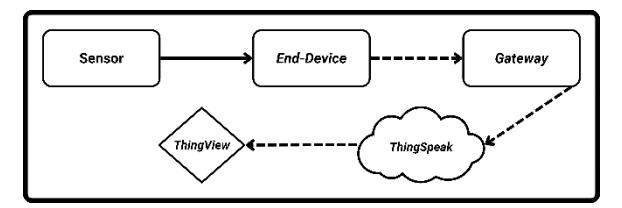
II.2 Internet of Things (IoT)

Internet of Things (IoT) sebuah infrastruktur yang memberikan identitas unik dan kemampuan pengiriman data melalui jaringan tanpa memerlukan interaksi langsung manusia ke manusia. Hal ini berarti data dikirimkan dari sumber ke tujuan tanpa campur tangan manusia. Perkembangan teknologi yang menjanjikan di dalam ranah IoT memiliki potensi untuk mengoptimalkan berbagai aspek kehidupan dengan memanfaatkan sensor-sensor cerdas dan objek-objek yang terhubung dalam jaringan internet (Wilianto dan Kurniawan, 2018). Gambar 1 memperlihatkan gambaran visual implementasi IoT dalam penelitian ini.

Dalam implementasi ini, sistem sensor udara terdiri dari perangkat seperti sensor MQ-7 (untuk mengukur CO), MQ-135 (untuk mengukur CO₂), dan DHT-22 (untuk mengukur suhu dan kelembaban). Sensor-sensor ini secara otomatis mengumpulkan data kualitas udara dan mentransmisikan informasi ini melalui jaringan IoT yang telah dirancang. *Gateway* akan digunakan untuk mengirimkan hasil pengujian dari sensor ke *platform* ThingSpeak. Hal ini memungkinkan pemantauan data dari jarak jauh. Selain itu, data juga dapat diakses melalui

w, sebuah aplikasi yang tersedia secara gratis untuk diunduh pada t *smartphone*. Hal ini memberikan kemudahan dalam pemantauan yang ctis dan efisien.

Optimized using trial version www.balesio.com



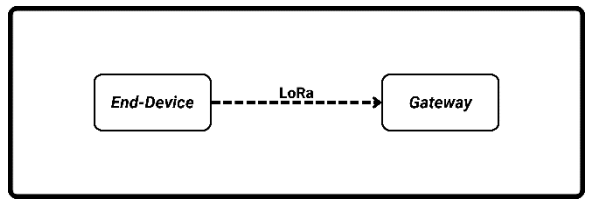
Gambar 1 Visualisasi pada internet of things (IoT)

II.3 Long Range (LoRa)

Long Range (LoRa) merupakan sebuah sistem komunikasi Low Power Wide Area Network (LPWAN) yang memiliki kemampuan transmisi jarak jauh. Sistem ini diperkuat oleh sejumlah perusahaan terkemuka seperti IBM, Semtech, Actility, dan lainnya, yang bersatu dalam LoRa Alliance, sebuah konsorsium yang mengembangkan dan mendukung teknologi ini. Dari segi teknis, LoRa dapat dijelaskan sebagai proses modulasi gelombang periodik untuk menghasilkan sinyal yang mengandung informasi. Proses modulasi ini melibatkan perubahan berulang dan teratur dalam gelombang, yang dapat berasal dari gangguan yang diterapkan secara bertahap atau getaran. Modulasi yang digunakan dalam LoRa adalah modulasi frekuensi (FM). Dengan metode modulasi ini, informasi berfrekuensi rendah dapat disisipkan ke dalam gelombang pembawa. Hasilnya adalah gelombang frekuensi yang stabil setelah proses modulasi. Di Indonesia, regulasi frekuensi LPWA LoRa mencakup rentang frekuensi 920-923 MHz (Imelda, 2021).

Teknologi nirkabel LoRa secara khusus digunakan untuk tujuan pemantauan objek yang spesifik. Seperti yang digambarkan pada Gambar 2, perangkat LoRa end-device berperan sebagai pengirim data yang kontinu mengirimkan informasi ke objek yang diamati. Sensor-sensor yang terhubung ke perangkat radio LoRa ini dapat berkomunikasi dengan satu atau beberapa gateway. LoRa gateway digunakan untuk menghubungkan end-device ke LoRa NetServer dalam arsitektur jaringan LoRa. LoRa NetServer, dalam hal ini, berfungsi sebagai server jaringan yang bertanggung jawab untuk pengontrolan dan pemantauan, termasuk aspek keamanan, manajemen sumber daya radio, dan fungsi-fungsi lain yang relevan.





Gambar 2 Visualisasi pada LoRa

A. Kelebihan LoRa

Adapun kelebihan dari teknologi LoRa merupakan sebagai berikut:

- 1. Jangkauan jarak jauh yang luas. LoRa menawarkan kemampuan menghubungkan perangkat hingga jarak 15 km (*line of sight*), membuatnya sangat sesuai untuk aplikasi IoT yang memerlukan konektivitas jarak jauh (Fenia, 2023).
- 2. Konsumsi daya yang rendah sehingga dapat mendukung masa pakai baterai yang lama hingga 5-10 tahun (Aulia, 2021).
- 3. Hemat biaya pemasangan dan perawatan karena konsumsi dayanya yang rendah (Aulia, 2021).
- 4. LoRa dapat terhubung dengan berbagai perangkat IoT dalam satu jaringan (Setiawan, 2023).
- 5. Bersifat *open-source* dan didukung oleh LoRa Alliance (Fenia, 2023).

B. Kekurangan LoRa

Adapun kekurangan dari teknologi LoRa merupakan sebagai berikut (Fenia, 2023):

- 1. Kecepatan *transfer* data yang lebih lambat dibandingkan teknologi nirkabel lainnya.
- 2. Tidak cocok untuk aplikasi yang membutuhkan transfer data dalam jumlah besar dan cepat
- 3. LoRa tidak memiliki enkripsi bawaan, sehingga memerlukan upaya tambahan untuk menjaga keamanan data dalam komunikasi.
- 4. Infrastruktur yang dibutuhkan untuk mengimplementasikan LoRa membutuhkan investasi yang cukup besar.

Teknologi LoRa tidak optimal jika digunakan di lingkungan dengan banyak gangguan, seperti kota besar dengan gedung tinggi dan bangunan yang dapat menghambat sinyal.



Optimized using trial version www.balesio.com

II.4 Mappi32

Mappi32 merupakan sebuah papan sirkuit yang diproduksi di Indonesia oleh KMTek. Papan sirkuit ini telah dirancang dengan fitur-fitur canggih yang memungkinkan pemrosesan data dalam jumlah yang lebih besar dengan kemudahan penggunaan. Mappi32 hadir sebagai dukungan penting untuk pengembangan *Internet of Things* (IoT) di berbagai lokasi, baik di daerah terpencil maupun perkotaan (Aulia, 2021). Pada Gambar 3 memperlihatkan diagram *pin-out* dari Mappi32.

Mappi32 merupakan mikrokontroler yang memiliki spesifikasi tinggi dan telah disesuaikan secara khusus dengan kebutuhan para teknisi muda di Indonesia dalam menerapkan teknologi IoT di seluruh wilayah Indonesia. Papan sirkuit ini telah menjalani berbagai pengujian yang ketat, termasuk kemampuannya untuk mengambil data dari jarak yang cukup jauh, hingga 15 kilometer (*line of sight*), dengan memanfaatkan jaringan LoRa. Mappi32 memiliki spesifikasi sebagai berikut (Aulia, 2021):

- ESP32-WROOM-32E 16 MB OTA.
- Quad layer PCB dengan Dual Core 32 bit.
- RFM95 LoRaWAN, fungsi ini sangat membantu mengingat topografi Indonesia yang bervariasi.
- Dapat tersambung melalui WiFi, Bluetooth, dan LoRa 920-923 MHz.
- USB type C yang bertujuan untuk meningkatkan *durability* dan kemudahan pengguna.
- LDO regulator agar device dapat bekerja lebih lama dengan baterai.
- ESD protection pada power input untuk mencegah electrostatic discharge.
- Qwicc support by sparkfun untuk menggunakan multi sensor I2C dalam 1 port.
- Built in 1A LiPo/Li-on charger sebagai backup power sehingga device dapat dibuat sebagai portable/mobile product.

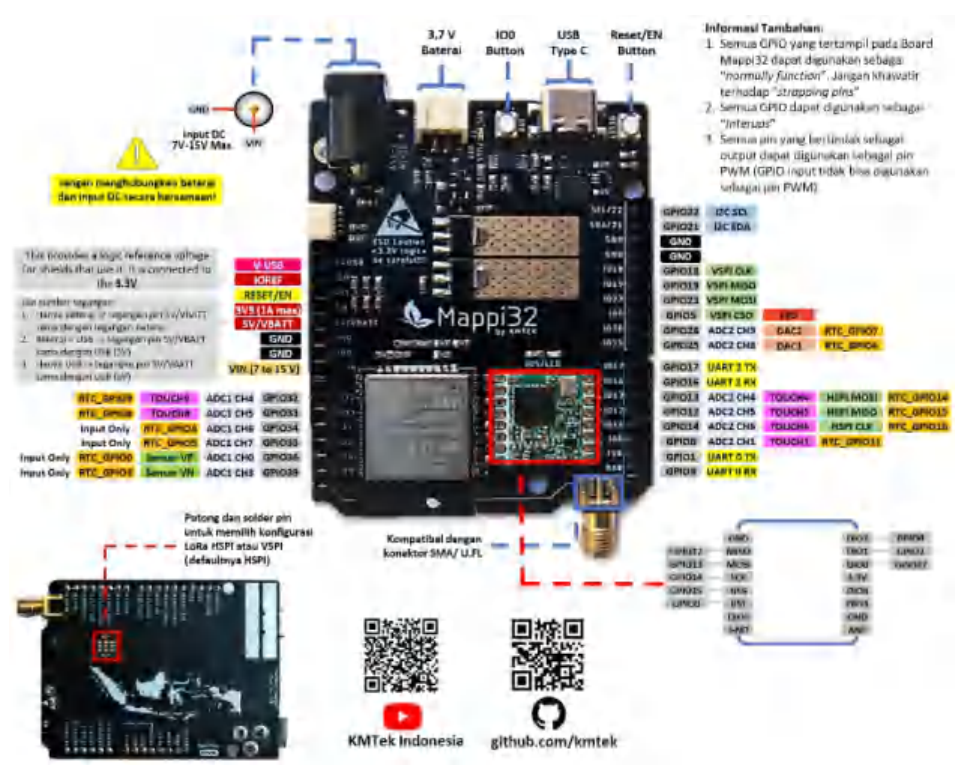
Support Arduino IDE, ESP, IDF, microPhyton.

Konektor SMA/U.FL.





- Transceiver Support.
- Arduino Uno *form factor* agar memudahkan pengguna dalam mengaplikasikan Mappi 32.



Gambar 3 Diagram pin-out Mappi32 (Aulia, 2021)

Tabel 5 Perbandingan Arduino Uno dan Mappi32 (Aulia, 2021)

a 'en ' A 1 ' TI A T '22		
Spesifikasi	Arduino Uno	Mappi32
Processor	ATmega328	ESP WROOM - 32E
Cores	1	2
Architecture	8 bit	32 bit
CPU Frekuensi	16 MHz	240 MHz
Flash Memory	32 KB	16 MB
Connectivity on Board	-	Wifi, Bluetooth, LoRa
Port Input	- USB type B	- USB type C
	- Power Jack DC	- Power Jack DC
		- JST PH 2.0 mm
Input Voltage (DC)	7 - 12V	1 - 15V
Operating	5 V	5 V



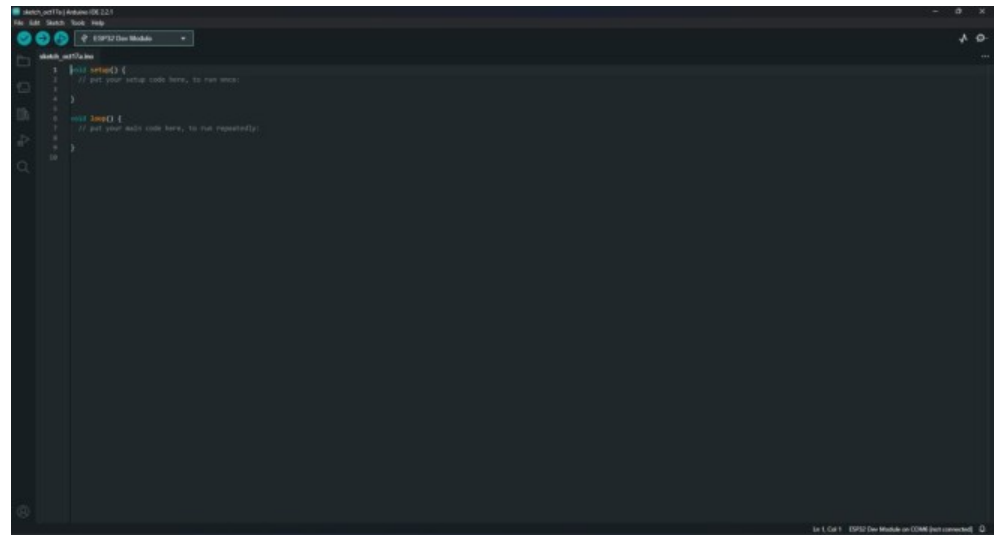
duino IDE

luino IDE merupakan perangkat lunak yang memberikan kemampuan man untuk mengembangkan program yang akan ditanamkan ke dalam



mikrokontroler yang terintegrasi dalam modul Mappi32, yang dikenal sebagai "sketch". Arduino IDE tidak hanya berfungsi sebagai editor pemrograman, tetapi juga sebagai compiler yang memungkinkan pemrogram untuk mengkompilasi kode dan mengunggah program ke modul Mappi32 tanpa perlu menggunakan alat tambahan (Handoko, 2017).

Arduino IDE merupakan perangkat lunak yang canggih yang ditulis menggunakan bahasa pemrograman Java. Meskipun mikrokontroler tidak dapat memahami kode pemrograman yang ditulis oleh manusia, mereka hanya dapat memahami kode biner. Oleh karena itu, *compiler* diperlukan dalam proses ini untuk menerjemahkan kode pemrograman yang ditulis oleh pengguna menjadi kode biner yang dapat dimengerti oleh mikrokontroler. Selanjutnya, Arduino IDE juga dilengkapi dengan fitur *uploader* yang memungkinkan pengguna untuk mengunggah kode biner yang telah dihasilkan ke modul Mappi32 yang terhubung ke komputer, sehingga modul Mappi32 dapat menjalankan program yang telah dibuat. Gambar 4 memperlihatkan tampilan dari apliikasi Arduino IDE.



Gambar 4 Arduino IDE

II.6 Sensor Gas MQ-135

ısor MQ-135 merupakan perangkat yang digunakan untuk memantau ıdara dengan tujuan mendeteksi gas karbon dioksida (CO₂). Sensor ini likan nilai resistansi analog pada pin keluarannya. Untuk grasikan sensor ini ke dalam sistem, pin keluaran sensor MQ-135 dapat

Optimized using trial version www.balesio.com dihubungkan dengan *pin Analog-to-Digital Converter* (ADC) pada mikrokontroler atau dengan *pin input analog* pada *platform* Arduino. Sensor gas MQ-135 dilengkapi dengan pemanas internal yang berfungsi krusial. Kondisi pemanas pada sensor ini memegang peran penting, karena stabilitas operasi sensor dapat tercapai ketika tegangan pemanas mencapai 5 V dan pemanasan dilakukan selama 60 detik (Widodo et al., 2017). Gambar 5 memperlihatkan tampilan dari sensor gas MQ-135.



Gambar 5 Sensor gas MQ-135 (Lazada)

II.6.1 Cara Kerja Sensor

Sensor ini menyajikan laporan hasil deteksi kualitas udara dan meresponsinya dengan menyampaikan keluaran analog melalui pin outputnya. Prinsip operasional dari sensor MQ-135 melibatkan pemaparan data analog yang dapat dibaca dari tegangan keluaran ketika terjadi paparan gas pencemar. Pada saat semikonduktor SnO2 dikenai tegangan panas, setiap kehadiran gas pencemar memicu perubahan energi dan pergerakan dalam sensor, menghasilkan nilai keluaran yang berbeda dari nilai masukan awalnya.

II.6.2 Spesifikasi Sensor

Dalam melakukan perancangan sistem penulis merujuk pada spesifikasi sensor MQ-135 yang terlihat pada Tabel 6.

Tabel 6 Index sensor MQ-135 (Widodo et al., 2017)

Fitur	Spesifikasi
VC/(Tegangan Rangkaian)	$5 \text{ V} \pm 0,1$
VH (H)/ Tegangan Pemanas (Tinggi)	$5 \text{ V} \pm 0,1$
VH (L)/ Tegangan Pemanas (Rendah)	$1,4 \text{ V} \pm 0,1$
RL/ Resistansi Beban	Dapat disesuaikan
RH/ Resistansi Pemanas	$33~\Omega \pm 5\%$
TH (H)/ Waktu Pemanasan (Tinggi)	60 ± 1 seconds
TH (L)/ Waktu Pemanasan (Rendah)	90 ± 1 seconds
PH/ Konsumsi Pemanasan	Sekitar 350mW



Optimized using trial version www.balesio.com

II.7 Sensor Gas MQ-7

Sensor gas MQ-7 merupakan sensor gas yang digunakan untuk mendeteksi konsentrasi gas karbon monoksida (CO) dalam udara. Sensor ini sangat sensitif terhadap karbon monoksida dan dapat mendeteksi berbagai gas yang mengandung karbon monoksida. Bahan sensor gas yang digunakan dalam sensor gas MQ-7 adalah timah dioksida (SnO₂) dengan konduktivitas yang lebih rendah di udara bersih. Suhu rendah (pemanasan 1.5V) digunakan untuk mendeteksi karbon monoksida dengan metode deteksi siklus suhu tinggi. Konduktivitas sensor meningkat dengan meningkatnya konsentrasi gas karbon monoksida di udara, dan suhu tinggi (pemanasan 5.0V) membersihkan gas liar yang diadsorpsi pada suhu rendah. Perubahan konduktivitas dapat dikonversi menjadi sinyal keluaran yang sesuai dengan konsentrasi gas menggunakan sirkuit sederhana (GNS Components). Gambar 6 memperlihatkan tampilan dari sensor gas MQ-7.



Gambar 6 Sensor gas MQ-7 (Blibli)

II.7.1 Cara Kerja Sensor

Sensor ini terdiri dari susunan mikro tabung keramik AL2O3, lapisan sensitif tin dioksida (SnO2), elektroda pengujian, dan pemanas yang terperinci, semuanya terintegrasi dalam suatu kerangka yang terbuat dari plastik dan stainless steel steril. Pemanas, yang merupakan elemen integral, menciptakan kondisi operasional yang esensial bagi fungsi komponen sensitif. MQ-7 dirancang dengan menggunakan 6 pin, di mana 4 pin diarahkan untuk menangkap sinyal, sementara 2 pin lainnya

untuk menyediakan arus pemanasan yang diperlukan. Ketika sensor si adanya gas karbon monoksida, resistansi listrik pada sensor ini akan ni penurunan. Sensor ini juga dilengkapi dengan penyerap keramik



internal yang berfungsi sebagai pelindung terhadap debu atau gas yang tidak diinginkan. Fungsi pemanas pada sensor ini bersifat krusial, sebagai pemicu yang memungkinkan sensor mendeteksi gas target yang diharapkan setelah diberikan tegangan operasionalnya.

II.7.2 Spesifikasi Sensor

Dalam melakukan perancangan sistem penulis merujuk pada spesifikasi sensor MQ-135 yang terlihat pada Tabel 7.

Tabel 7 Index sensor MQ-7 (Ardiansyah et al., 2018)

Fitur	Spesifikasi
VC/ Tegangan Rangkaian	$5 \text{ V} \pm 0,1$
VH (H)/ Tegangan Pemanas (Tinggi)	$5 \text{ V} \pm 0,1$
VH (L)/ Tegangan Pemanas (Rendah)	$1,4 \text{ V} \pm 0,1$
RL/ Resistansi Beban	Dapat disesuaikan
RH/ Resistansi Pemanas	$33~\Omega \pm 5\%$
TH (H)/ Waktu Pemanasan (Tinggi)	60 ± 1 seconds
TH (L)/ Waktu Pemanasan (Rendah)	90 ± 1 seconds
PH/ Konsumsi Pemanasan	Sekitar 350mW

II.8 Sensor Suhu dan Kelembaban DHT-22

Sensor suhu dan kelembaban DHT-22 adalah sensor digital yang digunakan untuk mengukur suhu dan kelembaban relatif udara di sekitarnya. Sensor ini menggunakan kapasitor dan termistor untuk mengukur udara di sekitarnya dan mengeluarkan sinyal pada pin data. Sensor ini memiliki kemampuan untuk mendeteksi suhu dan kelembaban hingga jarak 100 meter. DHT-22 diklaim memiliki kualitas pembacaan yang baik, dinilai dari respon proses akuisisi data yang cepat dan ukurannya yang minimalis (Puspasari et al., 2020). Dalam melakukan perancangan sistem penulis merujuk pada spesifikasi sensor MQ-135 yang terlihat pada Tabel 8 dan pada Gambar 7 memperlihatkan tampilan dari sensor suhu dan kelembaban DHT-22.





Gambar 7 Sensor suhu dan kelembaban DHT-22 (Tokopedia)
Tabel 8 Index sensor DHT-22 (Ardutech, 2019)

Fitur	Spesifikasi
VC/ Tegangan Rangkaian	$3,3-6 \text{ V} \pm 0,1$
VH (H)/ Tegangan Pemanas (Tinggi)	$4,6 \text{ V} \pm 0,1$
VH (L)/ Tegangan Pemanas (Rendah)	$1,4 \text{ V} \pm 0,1$
RL/ Resistansi Beban	>5.1 k Ω
RH/ Resistansi Pemanas	$33~\Omega \pm 5\%$
TH/ Waktu Pemanasan	2 seconds
PH/ Konsumsi Pemanasan	Sekitar 350mW

II.9 WebPlotDigitizer

Dalam praktek rekayasa balik gambar visualisasi data, seringkali diperlukan untuk mengekstrak data numerik yang mendasar. WebPlotDigitizer muncul sebagai alat semi-otomatis yang secara signifikan menyederhanakan proses pengekstrakan tersebut, dengan keunggulan-keunggulan berikut (Din, 2023):

- 1. Kompatibilitas yang luas dengan berbagai jenis grafik, termasuk grafik XY, bar, polar, ternary, dan peta.
- 2. Algoritma ekstraksi otomatis yang mempermudah pengekstrakan sejumlah besar titik data dengan efisien.
- 3. Sistem gratis untuk digunakan, bersifat *open-source*, dan dapat diakses melalui berbagai platform, baik melalui web maupun desktop.
 - Terbukti secara luas digunakan dalam ratusan karya yang telah diterbitkan h ribuan pengguna, mencerminkan kehandalannya.
 - evan dalam konteks mengukur jarak atau sudut antara berbagai fitur, njadikannya alat yang sangat berguna dalam berbagai konteks pengujian.

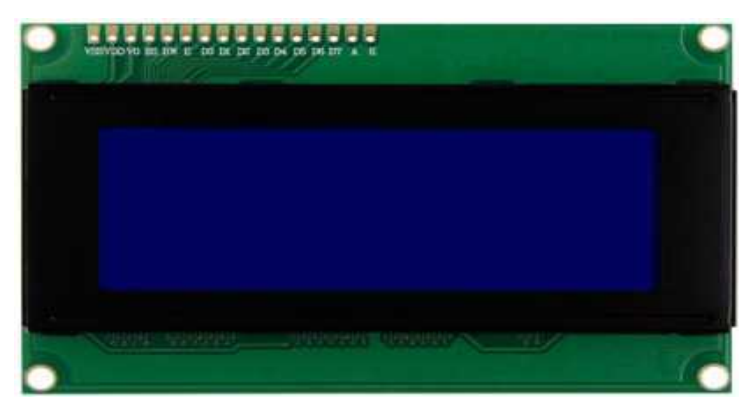


Tool ini umumnya digunakan dalam konteks membaca nilai pada titik yang terdapat pada grafik *datasheet* sensor MQ yang digunakan.

II.10 Liquid Crystal Display (LCD) 20x4

Liquid Crystal Display (LCD) merupakan suatu jenis media tampilan yang menggunakan kristal cair sebagai komponen utama untuk menampilkan informasi. Pengoperasiannya didasarkan pada sistem dot matriks yang mampu menampilkan angka, karakter, huruf, dan grafik sesuai dengan perintah dari program pengontrolnya. LCD umumnya membutuhkan tegangan dan daya yang rendah, menjadikannya pilihan yang populer dalam berbagai perangkat elektronik, seperti kalkulator, multitester digital, jam digital, dan banyak lagi (Paramita, 2023).

LCD 20x4 i2c adalah modul layar LCD dengan ukuran 20 karakter dan 4 baris yang menggunakan protokol komunikasi i2c. Modul ini biasanya terdiri dari dua bagian, yaitu modul LCD dan modul i2c. Modul i2c berfungsi sebagai penghubung antara mikrokontroler dan modul LCD, sehingga memudahkan penggunaan dan pengaturan modul LCD. Modul ini dapat digunakan dengan berbagai jenis mikrokontroler. Untuk menggunakannya, diperlukan *library* khusus seperti LiquidCrystal_I2C atau LCM1602. Selain itu, modul ini juga memiliki fitur backlight yang dapat diatur dengan menggunakan potensiometer (Forums RaspberryPI). Gambar 8 memperlihatkan tampilan dari LCD 20x4.



Gambar 8 LCD 20x4 (Tokopedia)



Optimized using trial version www.balesio.com

II.11 Hypertext Transfer Protocol (HTTP)

Hypertext transfer protocol (HTTP) merupakan sebuah protokol yang digunakan untuk melakukan pertukaran permintaan dan respons antara klien dan server dalam konteks komunikasi jaringan. Sebuah klien HTTP, seperti peramban web (web browser), biasanya memulai permintaan dengan membentuk koneksi Transmission Control Protocol/Internet Protocol (TCP/IP) ke port tertentu pada server yang berada di lokasi jauh. Fungsi utama dari HTTP merupakan menentukan bagaimana data harus ditransmisikan atau diformat agar sesuai dengan keinginan pengguna. Oleh karena itu, HTTP merupakan elemen esensial yang selalu terlibat dalam setiap alamat situs web saat mengakses internet. Cara kerja HTTP sendiri sangat sederhana. Ketika pengguna membuka sebuah situs web melalui peramban web, HTTP akan menghubungkan pengguna dengan alamat situs web yang juga dikenal dengan URL (Uniform Resource Locator). HTTP menggunakan protokol TCP/IP untuk mengelola koneksi antara klien dan server, dan hasilnya ditampilkan dalam peramban web (Zabar dan Novianto, 2015).

Proses kerja protokol HTTP dalam mentransmisikan data dapat dijelaskan sebagai berikut (Testy et al., 2022):

- 1. Komputer klien, atau klien HTTP, membuat koneksi dan mengirim permintaan dokumen kepada *server web*.
- 2. Selanjutnya, *server* HTTP memproses permintaan tersebut dan klien HTTP menunggu respons dari *server*.
- Server web merespons permintaan dengan mengirimkan data serta kode status yang relevan, kemudian menutup koneksi setelah proses permintaan selesai.

II.12 Universal Asynchronous Receiver Transmitter (UART)

Universal asynchronous receiver-transmitter (UART) merupakan sebuah t yang digunakan untuk menghubungkan modul komunikasi melalui jalur iver) dan Tx (transmitter). UART merupakan sebuah sirkuit terintegrasi unakan untuk mengaktifkan komunikasi serial antara perangkat dan



komputer melalui *port serial*. Pada tingkat perangkat keras, komputer umumnya harus mengkonversi data dari bentuk bit-bit paralel menjadi bit-bit serial. Untuk memungkinkan koneksi antara modul antarmuka dengan modul komunikasi, komunikasi UART digunakan melalui jalur Rx dan Tx. Modul komunikasi akan menerima dan mengirimkan data melalui jalur-jalur ini, dan program dengan berbagai fungsi ini dapat dijalankan menggunakan lingkungan pengembangan Arduino IDE (Testy et al., 2022).

II.13 Sistem Komunikasi Single Input Single Output (SISO)

Komunikasi *single input single output* (SISO) merupakan salah satu bentuk komunikasi yang sederhana dalam sistem komunikasi. Pada SISO, terdapat satu antena di sisi pengirim dan satu antena di sisi penerima, seperti yang dapat dilihat pada Gambar 9. Sebelum dikirimkan, data yang akan disampaikan melalui sistem komunikasi ini harus mengalami proses modulasi di sisi pengirim. Selanjutnya, data yang telah diterima akan mengalami proses demodulasi di sisi penerima untuk memulihkan data sesuai dengan yang telah dikirimkan (Hapsari, 2016).



Gambar 9 Sistem pengirim dan penerima pada SISO

II.14 ThingSpeak dan ThingView

ThingSpeak merupakan sebuah layanan internet yang menyediakan solusi untuk aplikasi *Internet of Things* (IoT). Layanan ThingSpeak menawarkan sejumlah fitur dan API yang bersifat *open-source*, memungkinkan pengguna untuk menyimpan dan mengambil data dari berbagai perangkat yang terhubung melalui jaringan internet atau LAN (*Local Area Network*) menggunakan protokol HTTP

vt Transfer Protocol). Dengan ThingSpeak, individu dapat dengan mudah pangkan aplikasi perekaman data sensor, pelacakan lokasi, dan jejaring



PDF

sosial untuk perangkat yang terhubung ke internet dengan pembaruan status yang *real-time* (Testy et al., 2022).

ThingView merupakan sebuah *platform* Android yang dirancang untuk mengintegrasikan *smartphone* dengan sistem operasi Android. Antarmuka pengguna pada ThingView dirancang agar mirip dengan yang ada di ThingSpeak, yang memudahkan pengguna dalam memantau dan mengakses data yang tersimpan di ThingSpeak menggunakan perangkat seluler. ThingView dapat diunduh secara gratis melalui *play store* maupun *app store* pada *smartphone* pengguna (Testy et al., 2022).

II.15 Quality of Services (QoS)

II.15.1 Pengertian Quality of Services (QoS)

Quality of Service (QoS) merupakan indikator penting yang mengukur kemampuan sebuah jaringan dalam menyediakan layanan berkualitas tinggi, termasuk penyediaan kapasitas yang memadai serta kemampuan untuk mengurangi delay. Konsep QoS merujuk pada kapabilitas jaringan dalam memberikan layanan unggul untuk jenis lalu lintas tertentu, dengan berbagai teknologi yang berperan (Lutfi dan Asrun, 2016).

II.15.2 Parameter QoS

Terdapat banyak hal yang bisa terjadi pada paket ketika melakukan perjalanan dari asal ke tujuan yang mengakibatkan masalah-masalah dan sering disebut sebagai parameter QoS, antara lain:

A. Delay

Delay merupakan waktu tunda yang dibutuhkan data untuk menempuh jarak dari asal ke tujuan. Delay dapat dipengaruhi oleh beberapa faktor, seperti jarak, media fisik, congesti, atau waktu proses yang lama. Dalam beadaan optimal, nilai delay akan semakin meningkat seiring dengan tambahnya jarak (Ubaidillah et al., 2023). Kategori delay dapat dilihat la Tabel 9, dimana kategori tersebut dapat digunakan sebagai acuan untuk ngevaluasi kualitas pengiriman data. Semakin rendah rentang delay,



semakin baik kualitas pengiriman data tersebut (BINUS Online Learning, 2020).

Delay = Waktu Paket Diterima - Waktu Paket Dikirim (2) Sedangkan, rumus untuk menghitung rata-rata delay adalah:

$$Delay = \frac{Jumlah \ data \ yang \ diterima}{Banyaknya \ data \ yang \ diterima}$$
(3)

Tabel 9 Parameter nilai delay (TIPHON)

Nilai Delay (ms)	Kategori
< 150	Sangat Bagus
150 - 300	Bagus
301 - 450	Sedang
> 450	Buruk

B. Throughput

Throughput merupakan kecepatan (rate) transfer data efektif yang diukur dalam satuan bit per second (bps). Throughput merupakan jumlah total dari kedatangan paket yang sukses dan diamati pada sisi klien/tujuan selama selang waktu tertentu dibagi oleh durasi selang waktu tersebut. Dalam keadaan optimal, nilai throughput akan semakin menurun seiring dengan bertambahnya jarak (Ubaidillah et al., 2023). Throughput biasanya selalu dikaitkan dengan bandwidth dalam kondisi yang sebenarnya dikarenakan sifatnya yang dinamis tergantung pada trafik yang sedang terjadi. Kategori throughput dapat dilihat pada Tabel 10. Berikut rumus dari throughput, dimana (Wulandari, 2016):

$$Throughput = \frac{Jumlah \ data \ yang \ dikirim}{Waktu \ pengiriman \ data}$$
(4)

Tabel 10 Parameter nilai throughput (TIPHON)

Nilai Throughput (bps)	Kategori
> 75	Sangat Bagus
51 - 75	Bagus
25 - 50	Sedang
< 25	Buruk



C. Packet Loss

Packet loss pada komunikasi LoRa merupakan kondisi hilangnya paket data pada saat pengiriman dilakukan sehingga tidak diterima seutuhnya di tempat tujuan. Dalam komunikasi LoRa, packet loss dapat terjadi karena beberapa faktor seperti jarak antara transmitter dan receiver, interferensi, dan noise. Kategori packet loss dapat dilihat pada Tabel 11. Berikut rumus dari packet loss, dimana (Wulandari, 2016):

$$Packet\ Loss = \frac{(Paket\ data\ dikirim - Paket\ data\ diterima)x100\%}{Paket\ data\ dikirim} \tag{5}$$

Tabel 11 Parameter nilai packet loss (TIPHON)

Nilai Packet Loss (%)	Kategori
0 - 2	Sangat Bagus
3 - 14	Bagus
15 - 24	Sedang
≥ 25	Buruk

D. Received Signal Strength Indicator (RSSI)

Received signal strength indicator (RSSI) merupakan parameter yang mengukur kekuatan sinyal yang diterima saat data melewati suatu medium, diukur dalam miliwatt dan diwujudkan dalam dBm (decibel milliwatt) (Wulandari, 2016). Nilai RSSI digunakan sebagai acuan untuk menilai kualitas sinyal yang diterima, baik dari penerima maupun pengirim. RSSI diukur dalam skala dBm dan biasanya memiliki nilai negatif. Semakin mendekati angka 0, semakin kuat kekuatan sinyalnya (Testy et al., 2022). Kategori packet loss dapat dilihat pada Tabel 12.

Tabel 12 Parameter nilai received signal strength indicator (RSSI) (TIPHON)

Nilai RSSI (dBm)	Kategori
≥ - 71	Sangat Bagus
-70 s/d -85	Bagus
-80 s/d -100	Sedang
≤ - 101	Buruk

Sedangkan, rumus untuk menghitung rata-rata RSSI adalah:



$$RSSI = \frac{Jumlah \, data \, yang \, diterima}{Banyaknya \, data \, yang \, diterima} \tag{6}$$



II.16 Wireshark

Wireshark merupakan sebuah aplikasi *network packet analyzer* yang canggih, dirancang untuk melakukan pengawasan dan penyaringan paket data dalam suatu jaringan dengan tujuan menampilkan data dalam tingkat detail yang maksimal. Data yang telah disaring dengan Wireshark dapat digunakan sebagai dasar untuk melakukan analisis yang mendalam terhadap jaringan. Fungsionalitas Wireshark mencakup berbagai aspek, mulai dari merekam paket-paket data dan informasi yang mengalir melalui jaringan, memeriksa keamanan jaringan, hingga melakukan *troubleshooting*. Selain itu, aplikasi ini juga dapat digunakan untuk *sniffing*, yang bertujuan untuk memperoleh data penting seperti kata sandi dan informasi pribadi. Wireshark merupakan aplikasi *open-source* yang tersedia secara luas sebagai alat bantu analisis jaringan dan menampilkan antarmuka pengguna berbasis GUI (*Graphical User Interface*) (Cahyaningtyas, 2013).

Packet sniffer, pada dasarnya, merupakan sebuah alat yang memiliki kemampuan untuk mengintersep dan mencatat lalu lintas data dalam jaringan. Saat data mengalir melalui jaringan, packet sniffer mampu menangkap Protocol Data Unit (PDU), melakukan dekode, serta menganalisis konten paket. Wireshark, sebagai salah satu perangkat packet sniffer terkemuka, telah diprogram secara cerdas agar dapat mengenali berbagai protokol jaringan yang berbeda. Selain itu, Wireshark juga mampu menampilkan informasi mengenai enkapsulasi dan bidang-bidang yang terdapat dalam PDU (Cahyaningtyas, 2013).

II.17 State of the Art

trial version www.balesio.com

Tabel 13 State of the art

No.	Nama Peneliti	Judul Penelitian	Hasil Penelitian
1	Andiko	Sistem	Penelitian ini mencakup
	Pridiantoko Putro,	Monitoring	perancangan hardware dan
	et al. (2023)	Kualitas Udara	software untuk memonitor
		Menggunakan	kualitas udara dalam sebuah
7777 PDF		Mikrokontroler	ruangan. <i>Hardware</i>
		ESP32 dengan	menggunakan tiga sensor MQ2
		Sensor MQ2	yang dipasang di tiga sisi
Any		Berbasis Internet	ruangan, satu sisi dengan
		of Things	ventilasi. Sensor ini digunakan
Optimized using			

No.	Nama Peneliti	Judul Penelitian	Hasil Penelitian
			untuk mendeteksi kadar udara
			yang buruk (di atas 1300 ppm)
			dan mengaktifkan kipas
			ventilasi. Software-nya
			menggunakan smartphone dan
			layanan database/Cloud
			Firebase Google untuk
			memantau kualitas udara dalam
			satuan ppm secara real-time,
			serta menyimpan riwayat
			pengujian. Hasil pengujian
			pertama pada 24 Januari 2023
			menunjukkan bahwa sensor 1
			memiliki <i>range</i> antara 500-1500
			ppm, sensor 2 dengan <i>range</i> di bawah 500-2000 ppm, dan
			sensor 3 dengan <i>range</i> 500-2000
			ppm. Hasil pengujian kedua
			pada 25 Januari 2023
			menunjukkan bahwa pembacaan
			sensor cenderung stabil dengan
			rata-rata sensor memiliki <i>range</i>
			1500 ppm.
2	Alex Andrango-	Development and	Penulis mengusulkan sistem
	Catota, et al.	Assessment of an	berbasis IoT (TDDM4IoTS) dan
	(2023)	Indoor Air	menggunakan alat
		Quality Control	pengembangan TDDT4IoTS
		IoT-Based System	berbiaya rendah yang disebut
			IdeAir untuk memantau dan
			mengurangi tingkat polusi dalam
			ruangan di kota-kota di Ekuador.
			Sistem ini bertujuan untuk
			mengatasi masalah emisi gas
			berbahaya di lingkungan dalam
			ruangan, khususnya dari
			pemanas air dan pemanas yang
			mengandalkan bahan bakar fosil.
			Solusi yang ada untuk memantau
			polusi dalam ruangan mahal dan
			tidak layak untuk rumah tangga
			dengan sumber daya keuangan terbatas. IdeAir terdiri dari
DF			perangkat yang mendeteksi
7			konsentrasi gas berbahaya, seperti karbon monoksida (CO),
N. C.			di lingkungan dalam ruangan.
F O			Tergantung pada tingkat
	192		rergantung pada ungkat



No.	Nama Peneliti	Judul Penelitian	Hasil Penelitian
3	Diel Din (2023)	Rancang Bangun	konsentrasi, sistem mengeluarkan alarm dan pemberitahuan, menyalakan kipas angin, dan/atau membuka pintu untuk meningkatkan kualitas udara. Penelitian ini melakukan
DF W		Sistem Pemantauan Kualitas Udara Berbasis Internet of Things (IoT) Menggunakan Thingspeak dan Website	pengujian sebuah sistem yang menggunakan sensor MQ-7 dan MQ-135 untuk mendeteksi kadar polutan udara. Hasil pengujian menunjukkan bahwa LCD dan buzzer berjalan sesuai dengan program yang dibuat. Saat pengujian menggunakan sensor MQ-7, LCD dapat menampilkan nilai kadar beserta kategori "baik" saat pembacaan kadar 0,86 ppm, dan menampilkan kategori "berbahaya" saat kadar polutan mencapai 1053,60 ppm. Begitu pula saat pengujian menggunakan sensor MQ-135, LCD menampilkan kategori "sedang" saat pembacaan kadar 525,07 ppm, dan menampilkan kategori "sangat tidak sehat" saat kadar mencapai 46920,725 ppm. Selain itu, dilakukan juga pengujian koneksi WiFi untuk memastikan apakah WEMOS D1 Mini dapat terkoneksi dengan WiFi atau tidak. Hasil pengujian menunjukkan bahwa platform Thingspeak sangat bergantung pada kecepatan internet yang dimiliki agar dapat berjalan maksimal. Sedangkan pada website, pengaruh kecepatan internet tidak begitu signifikan. Pengujian juga dilakukan untuk melihat performansi sistem dari dua platform. Hasilnya menunjukkan bahwa performansi sistem dari dua platform. Hasilnya menunjukkan bahwa performansi sistem dari dua platform. Hasilnya menunjukkan bahwa performansi sistem saat menggunakan casing dan tanpa



Optimized using trial version www.balesio.com

No.	Nama Peneliti	Judul Penelitian	Hasil Penelitian
			casing memiliki perbedaan yang
		T 1	signifikan.
4	Kemuning	Implementasi dan	Penelitian ini menggunakan
	Nenden Testy, et	Analisis Sistem	mikrokontroler Arduino Uno
	al. (2022)	<i>Monitoring</i> Kualitas Udara	yang dihubungkan dengan LoRa
		Berbasis	Dragino Shield 915 MHz yang juga terhubung ke wifi dengan
		Komunikasi Lora	menggunakan Wemos D1 mini
		di IT Telkom	melalui ThingSpeak dengan
		Purwokerto	protokol HTTP. Pengukuran
			menunjukkan bahwa QoS LoRa
			memiliki throughput terbaik
			pada jarak 10 m, sementara
			packet loss meningkat seiring
			dengan jarak. Pengukuran QoS
			HTTP menunjukkan delay buruk
			pada 40 m, dengan throughput
			terbaik pada 10 m dan <i>packet</i>
			loss rendah. Sensor gas MQ-7 dan MQ-135 menunjukkan
			keakuratan yang baik sesuai
			dengan toleransi <i>datasheet</i>
			mereka.
5	M Ihaab	Rancang Bangun	Penelitian ini berhasil
	Munabbih, et al.	Sistem Pemantau	merancang sistem pemantau
	(2020)	Kualitas Udara	kualitas udara menggunakan
		Menggunakan	Arduino dan LoRa berbasis
		Arduino dan	jaringan sensor nirkabel. Hasil
		LoRa Berbasis	pengujian menunjukkan bahwa
		Jaringan Sensor	keluaran sensor dan tegangan
		Nirkabel	sensor sesuai dengan karakteristik <i>datasheet</i> sensor
			yang digunakan. LoRa
			digunakan untuk mengirim data
			sensor tanpa <i>packet loss</i> hingga
			jarak 300 meter, cocok untuk
			aplikasi IoT dengan cakupan
			luas. Aplikasi <i>web</i> dapat
			mengolah data sensor menjadi
			nilai Indeks Standar Pencemar
			Udara (ISPU) yang sesuai
			dengan perhitungan manual.
DE			Seluruh fungsi dalam sistem
			berjalan sesuai fungsinya, dan
X			performa halaman web juga
ANI			memuaskan.



No.	Nama Peneliti	Judul Penelitian	Hasil Penelitian
6	Ikhwan Prayoga,	Sistem	Penelitian ini menghasilkan
	et al. (2020)	Monitoring	sebuah sistem pemantauan
		Kualitas Udara	kualitas udara yang mampu
		Secara Realtime	memonitor konsentrasi PM ₁₀ ,
		Dengan	karbon monoksida, deteksi asap,
		Peringatan	suhu, dan kelembaban secara
		Bahaya Kualitas	real-time. Data hasil pemantauan
		Udara Tidak	dapat diakses melalui antarmuka
		Sehat	website dan tersedia sepanjang
		Menggunakan	hari, dengan data <i>real-time</i> dan
		Push Notification	data yang telah dirata-ratakan
			per jam. Sistem ini juga
			memiliki fitur notifikasi yang
			mengirimkan pesan kepada
			pengguna ketika kualitas udara
			mencapai tingkat kategori tidak
			sehat (101 $\mu g/m3 - 199 \mu g/m3$),
			sangat tidak sehat (200 μg/m3 –
			299 μg/m3), atau berbahaya
_		~.	(lebih dari 300 μg/m3).
7	Agus Alwi	Sistem	Penelitian ini menghasilkan alat
	Mashuri dan Nely	Monitoring dan	IoT untuk memonitor kualitas
	Zulfa (2022)	Pendukung	udara menggunakan 3 sensor gas
		keputusan	(MQ7, MQ6, dan MQ135) yang
		Kualitas Udara di	mengukur CO, C ₄ H ₁₀ , CO ₂ , dan
		Kota Semarang Menggunakan	NH ₃ dalam ppm. Sensor-sensor
		IoT.	ini terhubung ke Raspberry Pi dan perisai IoT untuk
		101.	
			mendeteksi tingkat polusi udara. IoTShield digunakan untuk
			keamanan perangkat dan
			pengiriman data ke <i>Google</i>
			Spreadsheet dengan pemberian
			peringatan jika tingkat gas
			melebihi batas yang diijinkan.
			Kalibrasi sensor gas diperlukan
			dengan merujuk pada diagram
			rangkaian dasar, yang
			bergantung pada R _S /R _O
			(resistansi sensor pada kadar CO
			tertentu/ resistansi sensor pada
			udara bersih dengan kadar CO
			100 ppm). Data R _O dan R _S
DF			diperlukan untuk mengukur
7			kadar CO dalam ppm. R _O
N. S.			digunakan untuk kalibrasi hasil
45			urgunakan umuk kanutasi nash



Optimized using trial version www.balesio.com

0.	Nama Peneliti	Judul Penelitian	
8	Abu Buker Siddique, et al. (2022)	An Intelligent and Secure Air Quality Monitoring System Using Neural Network Algorithm and Blockchain.	Pengujian dengan standar, yang akan disesuaikan nanti. Penelitian ini mengusulkan sistem pemantauan kualitas udara dalam ruangan (IAQ) menggunakan sensor IoT dan teknologi blockchain. Perlunya pemantauan IAQ ditegaskan karena adanya bahaya pencemaran udara dalam ruangan terhadap kesehatan warga. Sistem ini terdiri dari sensor berbiaya rendah untuk mengukur suhu, kelembaban, karbon dioksida, materi partikulat, karbon monoksida, dan gas minyak cair.
	Waheb A. Jabbar, et al. (2022)	LoRaWAN-Based IoT System Implementation for Long-Range Outdoor Air Quality Monitoring	Data dari Air Quality Monitoring System (AQMS) yang dikumpulkan melalui TTN, ThingSpeak, dan Virtuino perlu divalidasi untuk memastikan keandalan dan efisiensi sistem. Validasi data adalah langkah penting untuk memastikan data lingkungan yang akurat dan dapat diandalkan sebelum digunakan dalam pengambilan keputusan. Hal ini membantu mematuhi peraturan, menilai dampak kesehatan, dan mengembangkan strategi penanganan polusi lingkungan. Peneliti membandingkan data yang dikumpulkan dengan data eksperimen praktis menggunakan kit Monitor Portable Aeroqual selama periode pengujian tertentu.
ng	Taufik Rachman, et al. (2021)	Sistem Monitoring Kualitas Udara Pada Lingkungan Perumahan Berbasis IOT Dengan NODEMCU.	Hasil penelitian ini adalah sistem monitoring kualitas udara berbasis IoT dengan NodeMCU. Sistem mengukur kualitas udara dan suhu, dengan lampu indikator hijau menandakan udara sehat, sedangkan lampu indikator merah menandakan
	0	Siddique, et al. (2022) Waheb A. Jabbar, et al. (2022) Taufik Rachman, et al. (2021)	Siddique, et al. (2022) Waheb A. Jabbar, et al. (2022) Waheb A. Jabbar, et al. (2022) Uality Monitoring System Using Neural Network Algorithm and Blockchain. LoRaWAN-Based IoT System Implementation for Long-Range Outdoor Air Quality Monitoring Taufik Rachman, et al. (2021) Taufik Rachman, et al. (2021) Secure Air Quality Monitoring Neural Network Algorithm and Blockchain.

No.	Nama Peneliti	Judul Penelitian	Hasil Penelitian
11	Gita Pati Humairoh dan Rama Dani Eka Putra (2021)	Prototipe Pengendalian Kualitas Udara Indoor Menggunakan Mikrokontroler dengan Sensor MQ135, DHT-22 dan Filter HEPA.	udara tidak sehat. Data dikirim ke database untuk menghasilkan laporan kualitas udara sehat atau tidak sehat. Selain itu, terdapat Use Case Diagram dan Activity Diagram untuk menjelaskan interaksi sistem dan aliran aktivitas dalam sistem. Penelitian ini mengembangkan dua tipe prototipe pengendali udara indoor: satu dengan penyaring udara HEPA dan satu tanpa HEPA, keduanya terintegrasi dengan kipas udara di kedua sisi untuk optimalisasi sirkulasi udara. Filter HEPA dipasang setelah pengujian prototipe tanpa filter. Tahap Running Prototipe terbagi menjadi dua: pengujian dengan dan tanpa filter HEPA tanpa Air Humidifier, dan pengujian dengan dan tanpa filter HEPA dengan tambahan Air Humidifier.

